

Основным результатом доклада является следующая теорема.

**Теорема 1.** Для величин оптимального восстановления (1) справедливы следующие утверждения.

(I) В случае  $|\ln \delta| \geq \eta(z_0)$  справедливы равенства:

$$\mathcal{E}_{\mathcal{O}}(\delta) = \mathcal{E}_{\mathcal{B}}(\delta) = \mathcal{E}_{\mathcal{L}}(\delta) = \kappa(z_0) \delta^\alpha |\ln \delta|.$$

Экстремальными являются функции вида  $cf_\delta$ ,  $|c| = 1$ , и оптимальным методом восстановления в задаче (1) является функционал  $T_\delta^1$ .

(II) В случае  $|\ln \delta| < \eta(z_0)$  справедливы следующие равенства:

$$\mathcal{E}_{\mathcal{O}}(\delta) = \mathcal{E}_{\mathcal{B}}(\delta) = \mathcal{E}_{\mathcal{L}}(\delta) = \kappa(z_0) \delta^\alpha \frac{1}{2} \left( \eta(z_0) + \frac{\ln^2 \delta}{\eta(z_0)} \right).$$

Экстремальными являются функции вида  $cF_\delta$ ,  $|c| = 1$ .

(III) При  $\delta = 1$  справедливы следующие равенства:

$$\mathcal{E}_{\mathcal{O}}(1) = \mathcal{E}_{\mathcal{B}}(1) = \mathcal{E}_{\mathcal{L}}(1) = g'(z_0).$$

Экстремальными являются функции вида  $cg$ ,  $|c| = 1$ , и оптимальным методом восстановления в задаче (1) является функционал  $T_1^1$ .

Задачам оптимального восстановления на классах аналитических функций посвящена монография [1]. Близкие задачи оптимального восстановления оператора дифференцирования в пространствах Харди  $H^p$ ,  $1 \leq p \leq \infty$ , функций, аналитических в полосе и кольце, рассматривались в работах [2], [3].

#### СПИСОК ЛИТЕРАТУРЫ

1. Osipenko K. Yu. Optimal recovery of analytic functions. Huntington, N.Y. : Nova Science, 2000.
2. Акопян Р. Р. Наилучшее приближение оператора дифференцирования на классе функций аналитических в полосе // Тр. ИММ УрО РАН. 2014. Т. 60, № 1. С. 9–16.
3. Akopyan R. R. Approximation of the Differentiation Operator on the Class of Functions Analytic in a Ring // Ural Math. J. 2017. Vol. 3, № 2. P. 6–13.

УДК 511.14

## АЛЬТЕРНАТИВНЫЕ КОМПЛЕКСНЫЕ ЧИСЛА (АКЧ).

### 2. ВЫРАЖЕНИЕ АКЧ ЧЕРЕЗ ГИПЕРБОЛИЧЕСКИЕ ФУНКЦИИ

**В. Д. Александров, О. В. Александрова**

Донбасская национальная академия строительства и архитектуры  
avd-crystal@mail.ru

Альтернативные комплексные числа (**АКЧ**)  $R = u + vi$ , имеющие модуль  $[R] = u + v$ , и аргумент  $\psi = \operatorname{Arg} \sqrt{\frac{v}{u}}$ , выражены через гиперболические функции. Установлена связь параметров **АКЧ** с параметрами гиперболы, эллипса и окружности.

*Альтернативные комплексные числа, модуль, аргумент, свойства, геометрическая интерпретация, гипербола, эллипс, окружность, гиперболические функции.*

В работе [1] было введено понятие альтернативных комплексных чисел (**АКЧ**). Альтернативное комплексное число  $R = u + vi$  изображается в плоскости отрезком прямой  $OM$  с проекциями на соответствующие оси  $x$  и  $yi$ , либо вектором  $\vec{R} = \overrightarrow{OM}$  под углом  $\psi$  к оси  $x$  (рис. 1).

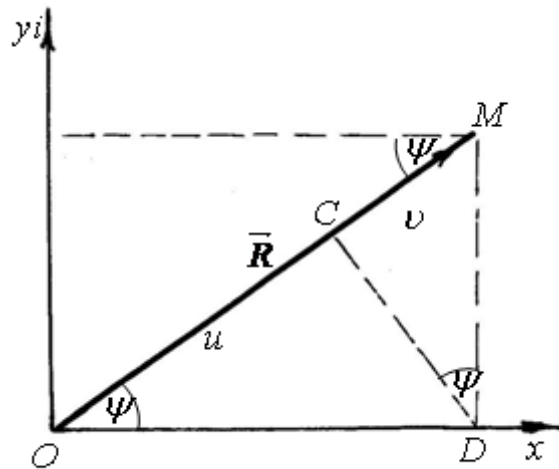


Рис. 1

Отрезок  $|OC| = u$  связан с действительной осью  $x$

$$u = x \cos \psi.$$

Отрезок  $|CM| = v$  связан с мнимой осью  $yi$

$$v = y \sin \psi.$$

Таким образом, в тригонометрической форме

$$R = x \cos \psi + yi \sin \psi, \quad [R] = x \cos \psi + y \sin \psi.$$

Угол  $\psi$  называется *аргументом* **АКЧ** и обозначается

$$\psi = \operatorname{Arg} [R].$$

Угол  $\psi$  связан с числами  $u$  и  $v$  следующим образом:

$$\frac{y \sin \psi}{x \cos \psi} = \frac{v}{u}.$$

Так как  $\frac{y}{x} = \operatorname{tg} \psi$ , то получаем  $\operatorname{tg} \psi = \sqrt{\frac{v}{u}}$ ,  $\psi = \operatorname{arctg} \sqrt{\frac{v}{u}}$ ,

$$\cos \psi = \sqrt{\frac{u}{[R]}} = \sqrt{\frac{u}{u+v}}, \quad \psi = \operatorname{arc cos} \sqrt{\frac{u}{u+v}},$$

$$\sin \psi = \sqrt{\frac{v}{[R]}} = \sqrt{\frac{v}{u+v}}, \quad \psi = \operatorname{arc sin} \sqrt{\frac{v}{u+v}}.$$

Кроме того, для альтернативных комплексных чисел  $(u+vi)$  имеется связь между числами  $u$  и  $v$  и аргументом  $\psi$ . Поскольку  $R = u+v$ ,  $\operatorname{tg} \psi = \sqrt{\frac{u}{v}}$ , то отсюда следует  $v = u \operatorname{tg}^2 \psi$ ,  $R = u(1 + \operatorname{tg}^2 \psi) \Rightarrow u = \frac{R}{1 + \operatorname{tg}^2 \psi} \Rightarrow u = R \cdot \cos^2 \psi$ . Аналогично,  $v = R \cdot \sin^2 \psi$ .

Длина отрезка  $OM$  называется *модулем АКЧ*  $[R]$ , равным сумме длин  $u$  и  $v$

$$[R] = |u+v|.$$

В отличие от обычного модуля  $| \cdot |$ , относящегося к знаку минус « $-$ », модуль  $[ \cdot ]$  относится лишь к мнимому числу  $i$ .

Альтернативные комплексные числа можно показывать не только на окружности в координатах  $x - yi$ , но и на гиперболе. Рассмотрим часть гиперболы на рис. 2 с полуосью  $OP$  и проведем вектор  $\vec{R}$  от точки  $O$  до точки  $M$ .

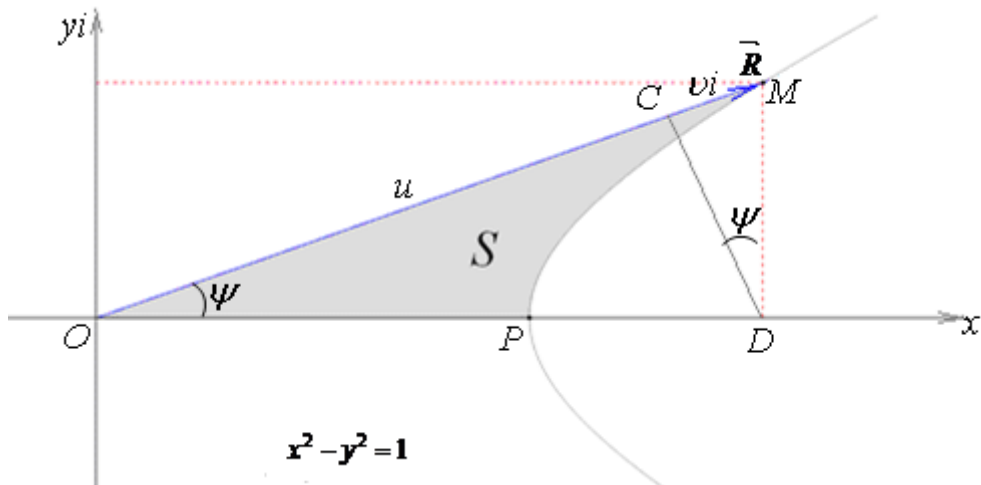


Рис. 2

Параметр  $\psi$  в радианных единицах соответствует длине дуги  $PM$ . Опуская перпендикуляр  $DC$  на сторону  $OM$ , получим два треугольника  $\triangle OCD$  и  $\triangle MDC$ . Пусть  $OM$  есть длина комплексного числа  $R = u + vi$ , т.е.  $[R] = u + v$ . Из  $\triangle OCD$  имеем  $|OC| = |OD| \cdot \operatorname{ch} \psi$ , а из  $\triangle MDC$   $|MC| = |DM| \cdot \operatorname{sh} \psi$ .

Так как  $|OM| = [R] = u + v$ ,  $|OC| = u$ ,  $|CM| = v$ ,  $|OD| = x$ ,  $|DM| = y$ , то  $u = x \cdot \operatorname{ch} \psi$ ,  $v = y \cdot \operatorname{sh} \psi$ .

Следовательно, в гиперболической форме альтернативное комплексное число можно записать в виде

$$R = x \operatorname{ch} \psi + iy \operatorname{sh} \psi.$$

По модулю  $[R] = x \operatorname{ch} \psi + y \operatorname{sh} \psi$ .

Для изображения комплексных чисел на гиперболе совместим окружность радиусом  $R_O = |OM_1|$  и равностороннюю гиперболу (рис. 3).

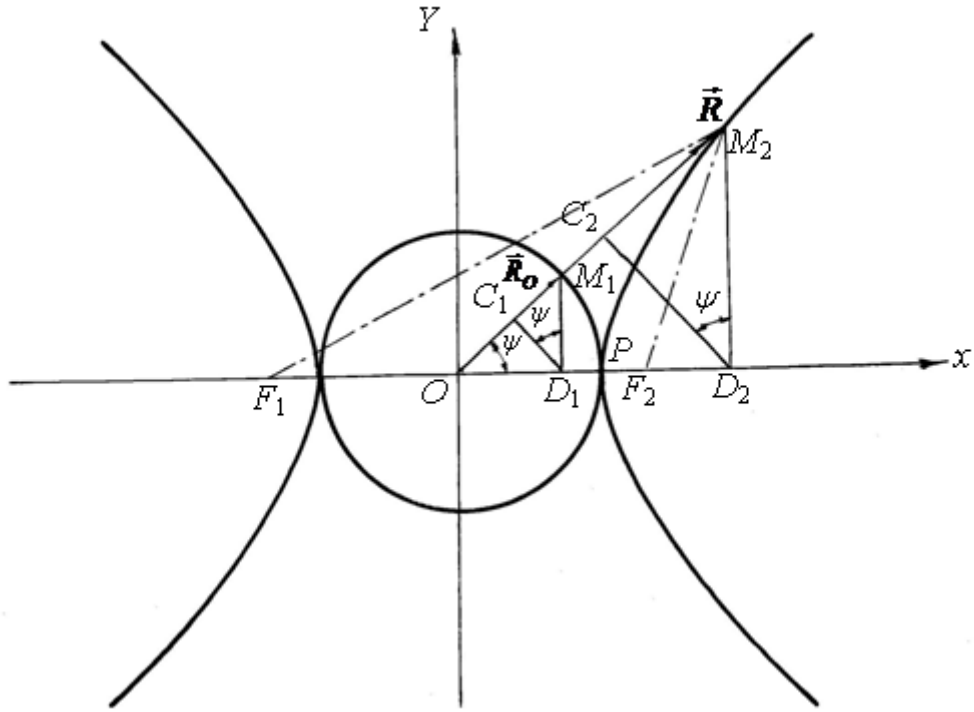


Рис. 3

Поскольку параметры альтернативного комплексного числа  $R_1 = u_1 + v_1 i$  через окружность определяются в виде:

$$[R_O] = u_1 + v_1, \quad \psi = \operatorname{arctg} \sqrt{\frac{v_1}{u_1}}, \quad u_1 = R_O \cos^2 \psi, \quad v_1 = R_O \sin^2 \psi,$$

то аналогично параметры комплексного числа  $R_2 = u_2 + v_2 i$  через равностороннюю гиперболу могут определяться в виде:

$$[R] = u_2 + v_2, \quad \psi = \operatorname{arth} \sqrt{\frac{v_2}{u_2}}, \quad u_2 = R_O \operatorname{ch}^2 \psi, \quad v_2 = R_O \operatorname{sh}^2 \psi.$$

Это следует из  $\triangle OM_1D_1$ , где  $[R_O] = |OM_1|$ ,  $u_1 = |OC_1|$ ,  $v_1 = |C_1M_1|$ ,  $|OD_1| = x_1$ ,  $|DM_1| = y_1$  и из  $\triangle OM_2D_2$ , где  $[R] = |OM_2|$ ,  $u_2 = |OC_2|$ ,  $v_2 = |C_2M_2|$ ,  $|OD_2| = x_2$ ,  $|DM_2| = y_2$ .

Следовательно,  $u_1 = x_1 \operatorname{ch} \psi$ ,  $v_1 = y_1 \operatorname{sh} \psi$ ,  $\frac{v_1}{u_1} = \frac{y_1 \operatorname{sh} \psi}{x_1 \operatorname{ch} \psi} = \frac{y_1}{x_1} \operatorname{th} \psi$  и  $u_2 = x_2 \operatorname{ch} \psi$ ,  $v_2 = y_2 \operatorname{sh} \psi$ ,  $\frac{v_2}{u_2} = \frac{y_2 \operatorname{sh} \psi}{x_2 \operatorname{ch} \psi} = \frac{y_2}{x_2} \operatorname{th} \psi$ .

Поскольку  $\frac{y_1}{x_1} = \operatorname{th} \psi$ , то  $\frac{v_1}{u_1} = \operatorname{th}^2 \psi$  и  $\operatorname{th} \psi = \sqrt{\frac{v_1}{u_1}}$ , а также  $\frac{y_2}{x_2} = \operatorname{th} \psi$ , то  $\frac{v_2}{u_2} = \operatorname{th}^2 \psi$  и  $\operatorname{th} \psi = \sqrt{\frac{v_2}{u_2}}$ .

Для изображения комплексных чисел на равносторонней гиперболе важно показать, что аргумент  $\psi$ , определяемый по окружности  $\psi = \operatorname{arctg} \sqrt{\frac{v}{u}}$ , равен аргументу  $\psi$ , определяемому по гиперболе  $\psi = \operatorname{arth} \sqrt{\frac{v}{u}}$ . Для этого рассмотрим гиперболические и круговые сегменты, показанные на рис. 4 *a*, *б* [2].

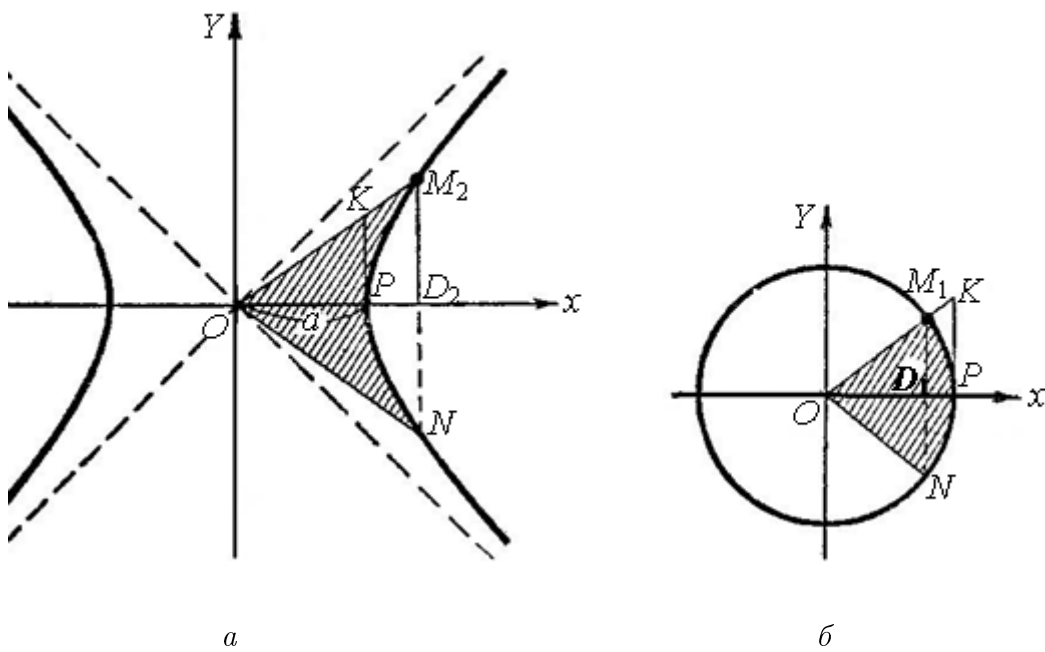


Рис. 4

Обозначим через  $\frac{S}{2}$  площадь гиперболического сектора  $M_2OP$  (рис. 4, *a*) и припишем величине  $S$  (площади двойного сектора) знак, который имеет угол поворота  $\psi$ . Тогда отношения направленных отрезков  $DM_2$ ,  $OD_2$ ,  $PK$  (построенных для точки  $M_2$  гиперболы) аналогичны отношениям отрезков  $DM_1$ ,  $OD_1$ ,  $PK$  на окружности. Получось  $a$  выра-

жается через  $S$  следующим образом

$$\frac{|DM_2|}{a} = \operatorname{sh} \frac{S}{a^2}; \quad \frac{|OD_2|}{a} = \operatorname{ch} \frac{S}{a^2}; \quad \frac{|PK|}{a} = \operatorname{th} \frac{S}{a^2}. \quad (1)$$

Эти соотношения получаются из рассмотрения площади сегмента  $POM_2$  и площади треугольника  $\triangle OM_2D_2$ :

$$\begin{aligned} \text{пл. } PM_2O &= \int_a^x \sqrt{x^2 - a^2} dx = \frac{x}{2} \sqrt{x^2 - a^2} - \frac{a^2}{2} \ln \frac{x + \sqrt{x^2 - a^2}}{a} = \\ &= \frac{xy}{2} - \frac{a^2}{2} \ln \frac{x+y}{a}, \quad \text{пл. } \triangle OM_2D_2 = \frac{xy}{2}. \end{aligned}$$

Тогда пл.  $M_2PD_2 = \text{пл. } \triangle OM_2D_2 - \text{пл. } PM_2O = \frac{a^2}{2} \ln \frac{x+y}{a}$  или

$$S = 2 \cdot \text{пл. } M_2PD_2 = a^2 \ln \frac{x+y}{a}.$$

Решая это уравнение совместно с каноническим уравнением гиперболы  $x^2 - y^2 = a^2$ , находим

$$\frac{x}{a} = \frac{e^{S/a^2} + e^{-S/a^2}}{2} = \operatorname{ch} \frac{S}{a^2}; \quad \frac{y}{a} = \frac{e^{S/a^2} - e^{-S/a^2}}{2} = \operatorname{sh} \frac{S}{a^2}.$$

Рассмотрим теперь окружность  $x^2 + y^2 = a^2$  (рис. 4 б). Величина  $\frac{S}{a^2}$  ( $S$  — площадь удвоенного кругового полусектора  $OM_1K$ ) дает угол  $\angle KOP$ , так что для окружности (из подобия треугольников  $\triangle OD_1M_1$ ,  $\triangle OPK$ ) можно записать:

$$\frac{|D_1C_1|}{a} = \sin \frac{S}{a^2}; \quad \frac{|OD_1|}{a} = \cos \frac{S}{a^2}; \quad \frac{|PK|}{a} = \operatorname{tg} \frac{S}{a^2}. \quad (2)$$

Из выражения (1) и (2) следует:

— для окружности  $x = a \cos \psi$ ,  $y = a \sin \psi$ , где  $a$  — радиус окружности ( $a = R_O$ );

— для равносторонней гиперболы  $x = a \operatorname{ch} \psi$ ,  $y = a \operatorname{sh} \psi$ , где  $\psi = \frac{S}{a^2}$ , где  $a$  — длина полуоси  $|OP|$ .

Аналогичные выкладки можно получить, рассматривая «связку» эллипса с неравносторонней гиперболой с полуосями  $a$  и  $b$  (рис. 5 при  $a > b$ , рис. 6 при  $a < b$ ).

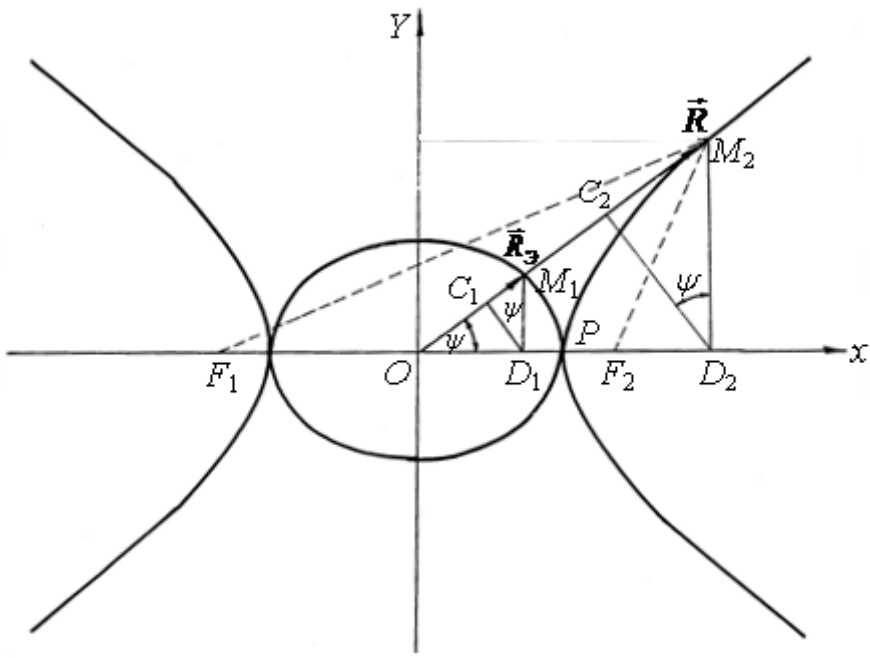


Рис. 5

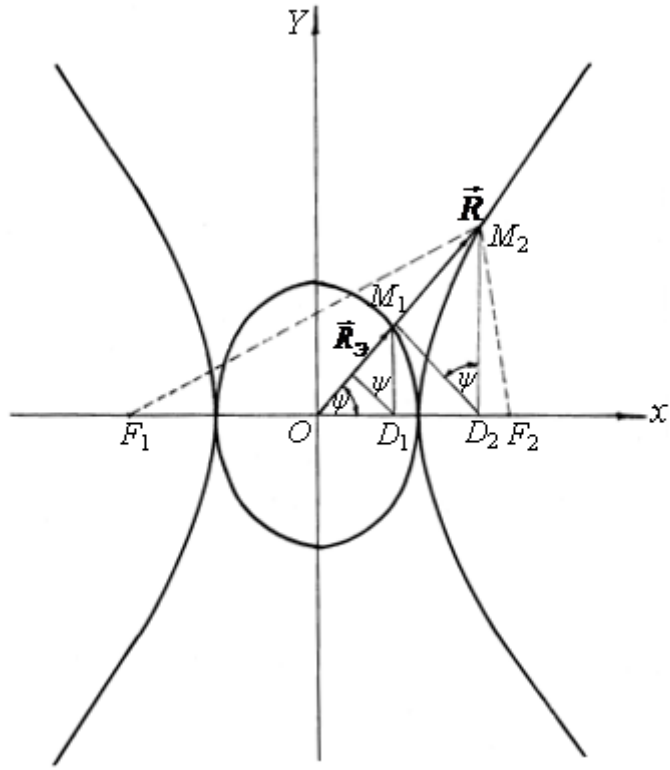


Рис. 6

Определимся с комплексными числами на эллипсе (рис. 5 и рис. 6).

Пусть центральный радиус  $R_{\mathfrak{E}}$  эллипса задан в виде комплексного числа  $R_{\mathfrak{E}} = u_1 + v_1 i$ . Рассмотрим треугольники  $\triangle OD_1C_1$ ,  $\triangle OD_1M_1$ ,  $\triangle M_1D_1C_1$ , где  $|OD_1| = x$ ,  $|D_1M_1| = y$ ,  $|OM_1| = |R_{\mathfrak{E}}|$ ,  $|OC_1| = u_1$ ,

$|M_1C_1| = v_1$ . Откуда  $[R_\Theta] = u_1 + v_1$ ,  $u_1 = x \cdot \cos \psi$ ,  $v_1 = y \cdot \sin \psi$ , или  $\frac{y}{x} = \operatorname{tg} \psi$  или

$$\frac{v_1}{u_1} = \frac{y}{x} \cdot \frac{\sin \psi}{\cos \psi} \Rightarrow \operatorname{tg} \psi = \sqrt{\frac{v_1}{u_1}} \text{ и } \psi = \operatorname{arctg} \sqrt{\frac{v_1}{u_1}}.$$

Как видим, комплексные числа по версии **АКЧ** имеют одинаковый вид, как на окружности, так и на эллипсе. Однако в данном случае центральный радиус  $R_\Theta$  для эллипса не есть постоянная величина, как для окружности, а есть функция от угла  $\psi$ . В полярных координатах эта функция имеет вид

$$R_\Theta = \frac{ab}{\sqrt{b^2 \cos^2 \psi + a^2 \sin^2 \psi}}. \quad (3)$$

Из (3) видно, что центральный радиус изменяется от полуоси  $a$  до  $b$  (и наоборот) по мере вращения радиус-вектора  $\vec{R}_\Theta$  вокруг центра эллипса.

Следовательно, и параметры комплексного числа  $u_1$  и  $v_1$   $u_1 = R_\Theta \cdot \cos^2 \psi$  и  $v_1 = R_\Theta \cdot \sin^2 \psi$  связаны с полуосями эллипса  $a$  и  $b$ .

Для изображения комплексных чисел на неравносторонней гиперболе также следует показать, что аргумент  $\psi$  как на эллипсе, так и на этой гиперболе имеет одинаковый вид. Используя те же обозначения, как и на рис. 1–2, можно записать для гиперболы

$$\begin{aligned} \text{пл. } PM_2O &= \int_a^x \frac{b}{a} \sqrt{x^2 - a^2} dx = \frac{xy}{2} - \frac{ab}{2} \ln \left( \frac{x}{a} + \frac{y}{b} \right), \text{ т.к. пл. } \Delta OM_2D_2 = \frac{xy}{2}; \\ S &= \text{пл. } PM_2D_2 = \text{пл. } \Delta OM_2D_2 - \text{пл. } \Delta PM_2O = \frac{ab}{2} \ln \left( \frac{x}{a} + \frac{y}{b} \right). \end{aligned} \quad (4)$$

Решая уравнение (4) совместно с уравнением гиперболы, получим

$$\frac{x}{a} = \frac{e^{S/ab} + e^{-S/ab}}{2} = \operatorname{ch} \frac{S}{ab}; \quad \frac{y}{a} = \frac{e^{S/ab} - e^{-S/ab}}{2} = \operatorname{sh} \frac{S}{ab};$$

или

$$\frac{x}{a} = \operatorname{ch} \psi; \quad \frac{y}{b} = \operatorname{sh} \psi, \quad (5)$$

где  $\psi = \frac{S}{ab}$ .

У эллипса площадь сегмента  $OPM_1$  вычисляется по формуле  $S = \int_0^\psi y(x)dx$ , где  $y(x) = \frac{b}{a} \sqrt{a^2 - x^2}$  (уравнение эллипса), т.е.  $S = \int_0^\psi \frac{b}{a} \sqrt{a^2 - x^2} dx = ab\psi$ , откуда получаем  $\psi = \frac{S}{ab}$ .

Таким образом, сохраняются отношения отрезков  $D_1M_1$  и  $OD_1$  к полуоси эллипса  $a$ , так же, как и отношения отрезков  $D_2M_2$  и  $OD_2$  к полуоси гиперболы:

$$\begin{aligned}\frac{|D_1M_1|}{a} &= \sin \frac{S}{ab} = \sin \psi, & \frac{|D_2M_2|}{a} &= \operatorname{sh} \frac{S}{ab} = \operatorname{sh} \psi, \\ \frac{|OD_1|}{a} &= \cos \frac{S}{ab} = \cos \psi, & \frac{|OD_2|}{a} &= \operatorname{ch} \frac{S}{ab} = \operatorname{ch} \psi.\end{aligned}$$

Точно так же, как и для равнобочной гиперболы, комплексное число  $R = u_2 + v_2i$  (при тех же обозначениях) на гиперболах в общем виде (как при  $a > b$ , так и при  $a < b$ ) имеют такие же параметры (рис. 6)  $[R] = |OM_2|$ ,  $u_2 = |OC_2|$ ,  $v_2 = |C_2M_2|$ ,  $|OD_2| = x$ ,  $|D_2M_2| = y_2$ ,  $[R] = u_2 + v_2$ ,  $u_2 = x \operatorname{ch} \psi$ ,  $v_2 = y \operatorname{sh} \psi$ ,  $\psi = \operatorname{arcth} \sqrt{\frac{v_2}{u_2}}$ .

В отличие от эллипса, характеризующегося центральным радиусом  $R_\Theta$ , у гиперболы радиус отсутствует. Изобразив действительную гиперболу  $\frac{x^2}{a^2} - \frac{y^2}{b^2} = 1$  в координатах  $yi - x$ , получим «комплексный» (мнимый) эллипс  $\frac{x^2}{a^2} + \frac{(y)^2}{b^2} = 1$  с мнимым центральным радиусом, который, по-видимому, можно изобразить в виде  $[R_\Theta] = \frac{ab}{\sqrt{b^2 \operatorname{ch}^2 \psi - a^2 \operatorname{sh}^2 \psi}}$ .

Как видим для эллипса и гиперболы как модуль  $[R_\Theta]$  комплексного числа, так и аргумент  $\psi$  связаны с параметрами этих фигур ( $a$ ,  $b$ ,  $R$ , эксцентриситетом  $\varepsilon = \frac{\sqrt{a^2 + b^2}}{a}$ , фокальными радиусами и др.).

Обобщая изложенное выше, альтернативные комплексные числа, можно систематизировать следующим образом:

- на окружности (рис. 3)  $R_O = u_1 + v_1i$ ,  $[R_O] = u_1 + v_1$ ,  $[R_O] = \text{const}$ ,  $\psi = \operatorname{arctg} \sqrt{\frac{v_1}{u_1}}$ ,  $\psi = \frac{S}{a^2}$ ,  $u_1 = [R_O] \cos^2 \psi$ ,  $v_1 = [R_O] \sin^2 \psi$ , где  $u_1 = |OM_1|$ ,  $v_1 = |M_1C_1|$ ,
- на равносторонней гиперболе (рис. 3)  $R = u_2 + v_2i$ ,  $[R] = u_2 + v_2$ ,  $[R] \neq \text{const}$ ,  $\psi = \operatorname{arth} \sqrt{\frac{v_2}{u_2}}$ ,  $\psi = \frac{S}{a^2}$ ,  $u_2 = [R] \operatorname{ch}^2 \psi$ ,  $v_2 = [R] \operatorname{sh}^2 \psi$ , где  $u_2 = |OC_2|$ ,  $v_2 = |M_2C_2|$ ,
- на эллипсе (рис. 5–6)  $R_\Theta = u_1 + v_1i$ ,  $[R_\Theta] = u_1 + v_1$ ,  $b \leq [R_\Theta] \leq a$  (при  $a > b$ ),  $b \geq [R_\Theta] \geq a$  (при  $a < b$ ),  $\psi = \operatorname{arctg} \sqrt{\frac{v_1}{u_1}}$ ,  $\psi = \frac{S}{ab}$ ,  $u_1 = [R_\Theta] \cos^2 \psi$ ,  $v_1 = [R_\Theta] \sin^2 \psi$ , где  $u_1 = |OC_1|$ ,  $v_1 = |M_1C_1|$ ,
- на неравносторонней гиперболе (рис. 5–6)  $R = u_2 + v_2i$ ,  $[R] = u_2 + v_2$ ,

$[R] \neq \text{const}$ ,  $\psi = \text{arth} \sqrt{\frac{v_2}{u_2}}$ ,  $\psi = \frac{S}{ab}$ ,  $u_2 = [R] \operatorname{ch}^2 \psi$ ,  $v_2 = [R] \operatorname{sh}^2 \psi$ , где  $u_2 = |OC_2|$ ,  $v_2 = |M_2C_2|$ .

#### СПИСОК ЛИТЕРАТУРЫ

1. Александров В. Д. Альтернативные комплексные числа (АКЧ). 1. Изображенные на плоскости. Свойства модулей // Современные проблемы теории функций и их приложения : материалы 18-й международной Саратовской зимней школы. Саратов : Научная книга, 2016. С. 27–31.
2. Выгодский М. Я. Справочник по высшей математике. М. : Гос. изд-во физ.-мат. лит., 1962. 870 с.

УДК 517.935.2

### БЫСТРЫЙ АЛГОРИТМ МОДЕЛИРОВАНИЯ ПЕРЕХОДНЫХ ПРОЦЕССОВ В КОМБИНИРОВАННЫХ ДИНАМИЧЕСКИХ СИСТЕМАХ

**Д. К. Андрейченко, К. П. Андрейченко, Д. В. Мельничук**  
(Саратов, Россия)

andreichenkodk@gmail.com, kp\_andreichenko@renet.ru,  
meldm007@gmail.com

Комбинированные динамические системы (КДС) представляют собой математические модели технических систем в форме систем связанных посредством условий связи и граничных условий обыкновенных дифференциальных уравнений и уравнений в частных производных. КДС с входной и выходной вектор-функциями  $\mathbf{x}(t)$ ,  $\mathbf{x} : \mathbb{R} \rightarrow \mathbb{R}^{N_x}$  и  $\mathbf{y}(t)$ ,  $\mathbf{y} : \mathbb{R} \rightarrow \mathbb{R}^{N_y}$ , где  $t$  — время, рассмотрены в [1–4]. Основные теоремы о быстрых алгоритмах проверки устойчивости КДС сформулированы и доказаны в [1–3], а методы параметрического синтеза, т.е. выбора параметров обратных связей, обеспечивающих требуемое качество переходных процессов, рассмотрены в [2, 4]. После параметрического синтеза требуется выполнить прямое численное моделирование переходных процессов в нелинейных КДС, что является нетривиальной вычислительной задачей. Уравнения движения КДС можно привести к виду, аналогичному [2, 4]

$$\dot{\mathbf{y}} = \mathbf{f}(\mathbf{x}, \mathbf{y}, \mathbf{h}, \boldsymbol{\mu}, \boldsymbol{\mu}_t t), \quad \mathbf{h} = \int_S \mathbb{H}(\mathbf{u}, \boldsymbol{\mu}) dS, \quad (1)$$

$$\dot{\mathbf{u}} = \mathbb{F}(\mathbf{u}, \mathbf{x}, \mathbf{y}, \dot{\mathbf{y}}, \boldsymbol{\mu}, \boldsymbol{\mu}_t t), \quad \mathbf{r} \in \Omega, \quad \mathbb{G}(\mathbf{u}, \mathbf{y}, \boldsymbol{\mu})|_S = 0, \quad (2)$$

$$\mathbf{y}(0) = 0, \quad \mathbf{u}(\mathbf{r}, 0) = 0. \quad (3)$$